# Fotodiodos semiconductores: comparativa entre fotodiodos de juntura PN, PIN, APD

Marco Petriella

#### Resumen

- Motivaciones
- Fotodiodo de juntura PN
  - Circuito equivalente
  - Linealidad
  - Ruido
  - SNR
- Fotodiodo PIN
- Fotodiodo de avalancha APD
- Comparativa entre sensores

## Construcción del fotodiodo

- Al poner en contacto dos materiales de tipo N (5 e- en la banda de valencia) y tipo P (3 e- en la banda de valencia), se observa un reordenamiento de cargas en la superficie de contacto por el fenómeno de difusión.
- La superficie de tipo N queda cargada positivamente, y la región P negativamente. Estas dos caras cargadas funcionan como un capacitor, con una capacidad de juntura característica ( $C_i$ ). La zona del medio es llamada zona de depleción.
- Si los fotones incidentes son absorbidos por el material y tienen energía mayor a la energía del bandgap entre la banda de valencia y conducción, se genera un nuevo par hueco-electrón que contribuye a la fotocorriente.

Incidente

N+

Recubrimiento

zona de

depleción

Debido a la excitación térmica en la zona de juntura se generan aleatoriamente pares de huecoelectrón que contribuyen a la corriente oscura.

Anodo

Cátodo

## Construcción del fotodiodo

• La fotocorriente  $I_L$  dependerá de manera lineal con la potencia óptica recibida  $(P_{\lambda})$  y la respuesta del sensor a una determinada longitud de onda  $(R_{\lambda})$ .

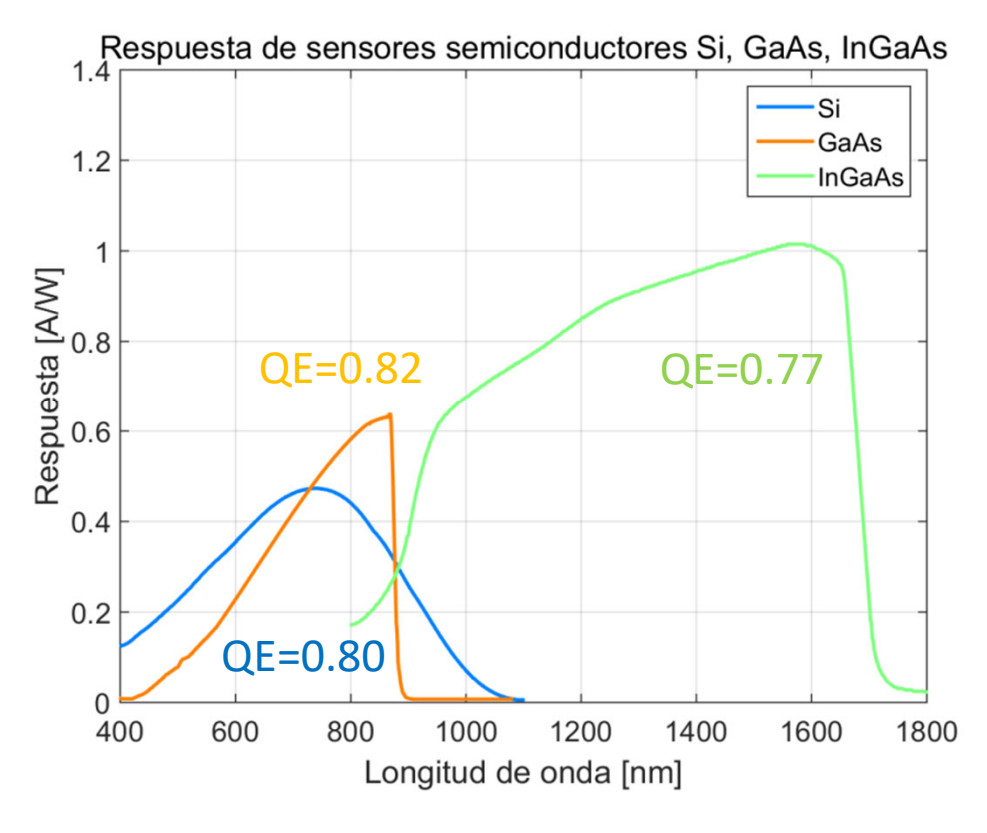
$$I_L = R_{\lambda} P_{\lambda}$$

 La respuesta en longitud de onda depende del bandgap de cada material. La longitud de onda de corte:

$$\lambda_C = \frac{1240}{E_G} [nm]$$

 La eficiencia cuántica (QE) viene definida por:

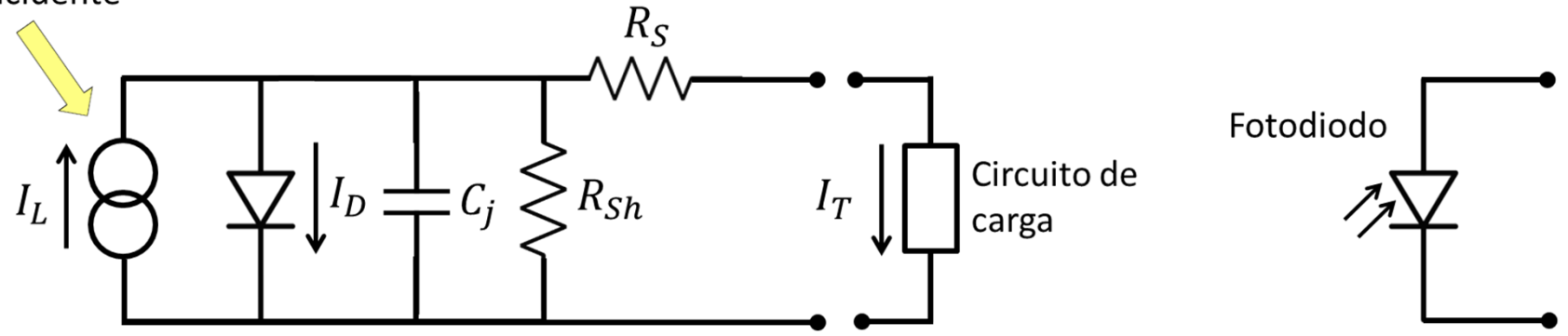
$$QE = \frac{R_{\lambda}1240}{\lambda}[nm]$$



Ref.: Application Notes – OSI Electronics

## Circuito equivalente

Luz incidente



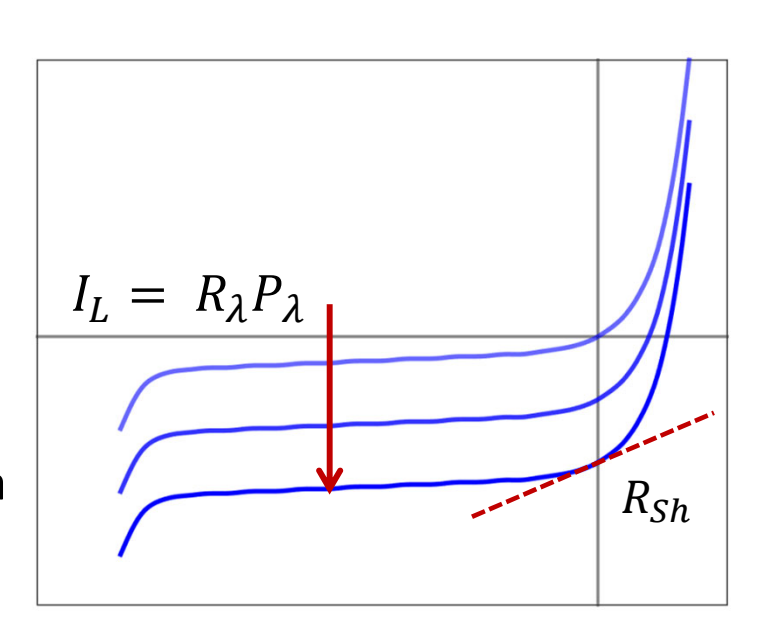
$$I_T = I_{DC} \left( e^{\frac{qV_D}{KT}} - 1 \right) - I_L$$

$$I_L = R_{\lambda} P_{\lambda}$$

$$R_{Sh} \approx 10 M\Omega$$
 Ruido térmico

$$C_i \approx 1pF$$
 Tiempo de respuesta

$$R_S \approx 5\Omega$$
 Resistencia de carga



### Linealidad

 Determinada por la cantidad de portadores que el fotodiodo puede entregar en la zona de depleción.

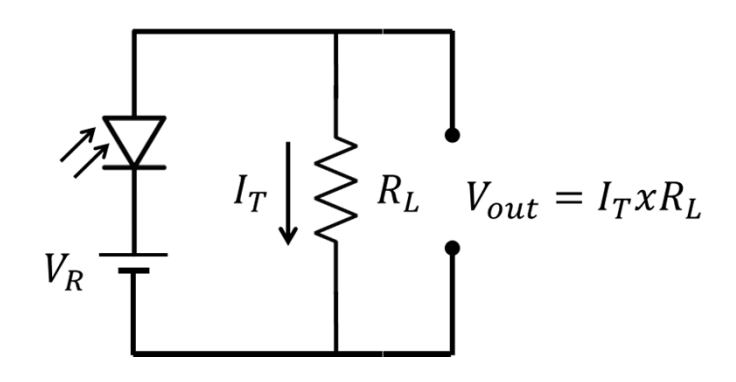
Intensidad = 
$$5x10^{-5}A/mm^2$$
 Intensidad =  $\frac{5x10^{-5}}{R}W/mm^2$  [para el silicio]

- Laser Helio Neon 1 mW, diámetro de spot 0.5  $\implies I = \frac{5x10^{-3}}{R}W/mm^2$
- Luz solar visible (400-700 nm) zenith  $\implies I = \frac{4x10^{-4}}{R} W/mm^2$
- Haz de 100 nW en un *spot* de radio de 50  $\mu$ m  $\implies I = \frac{1.2 \times 10^{-5}}{R} W/mm^2$

### Linealidad

 Determinada por el circuito de carga que utilicemos para la medición de la fotocorriente.

Resistencia de carga



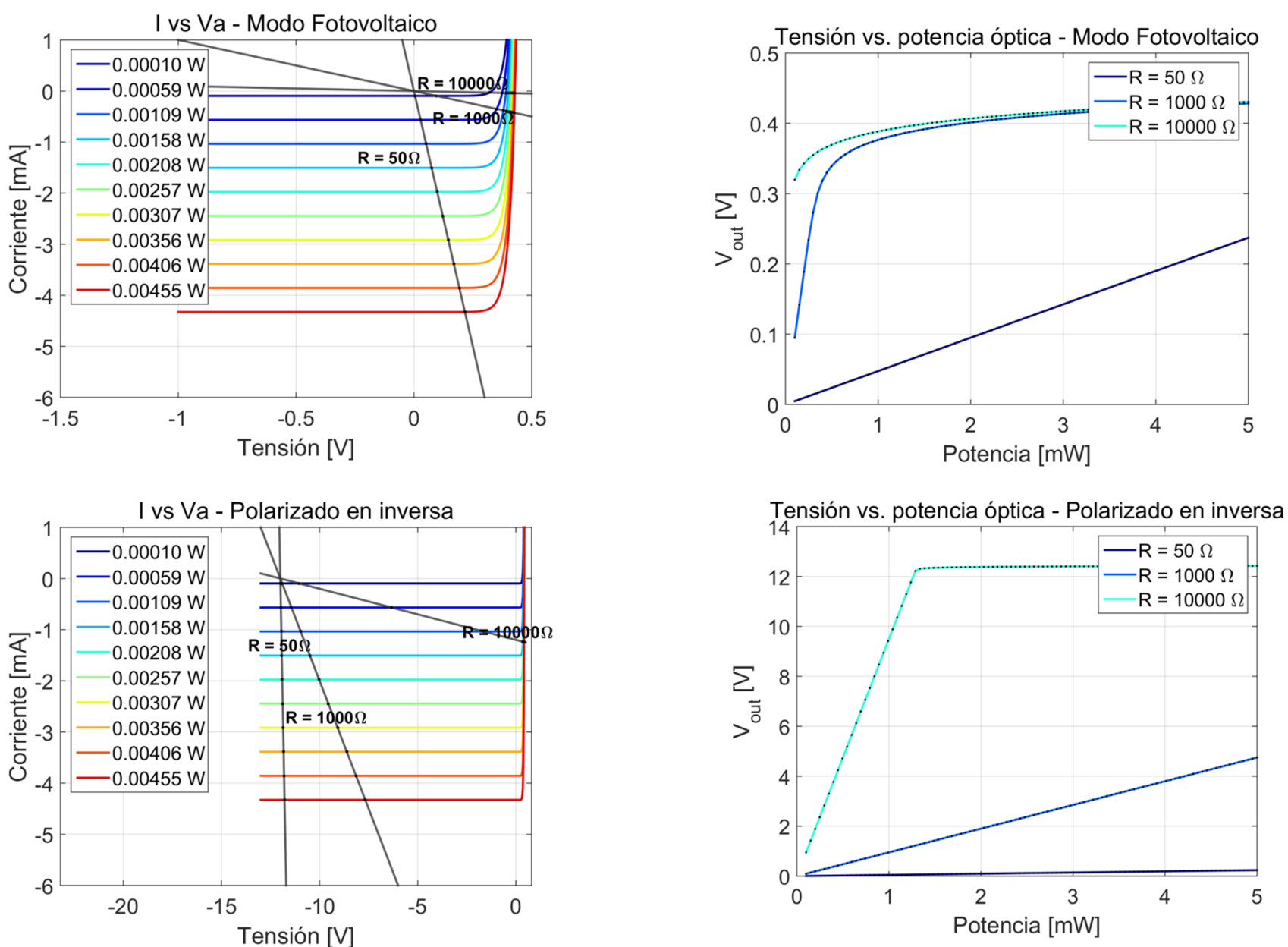
Amplificador de transimpedancia (niveles bajos de luz)

$$V_{out} = I_T x R_F$$

Potencia de saturación:

$$P_{SAT} = \frac{V_R + V_{bi}}{(R_L + R_S)R_A}$$

## Linealidad



Ref.: Gráficos obtenidos a partir de los parámetros del sensor DETO1CFC - Thorlabs

## Ancho de banda

El tiempo de respuesta del sensor depende de tres factores:

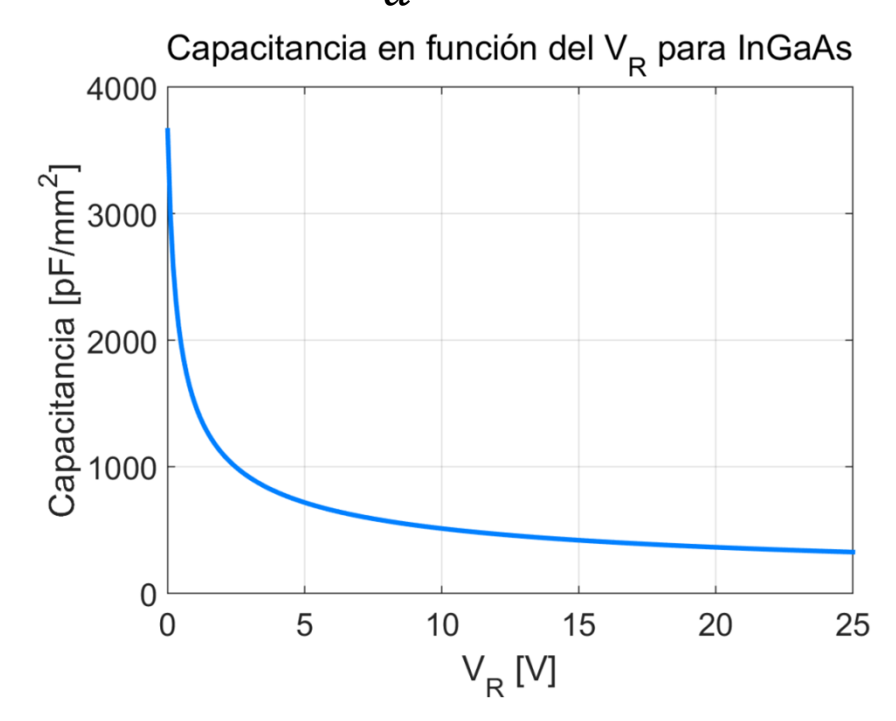
- Tiempo de difusión del par hueco-electrón por fuera de la zona de depleción.  $t_{difusión}{\sim}1\mu s$
- Tiempo de viaje del par hueco-electrón en la zona de depleción.  $t_{drift} = \frac{W_d^2}{\mu V_B} \sim 1 ps$
- Tiempo de respuesta del circuito de carga resistenciacapacitor.  $t_{\it RC}$

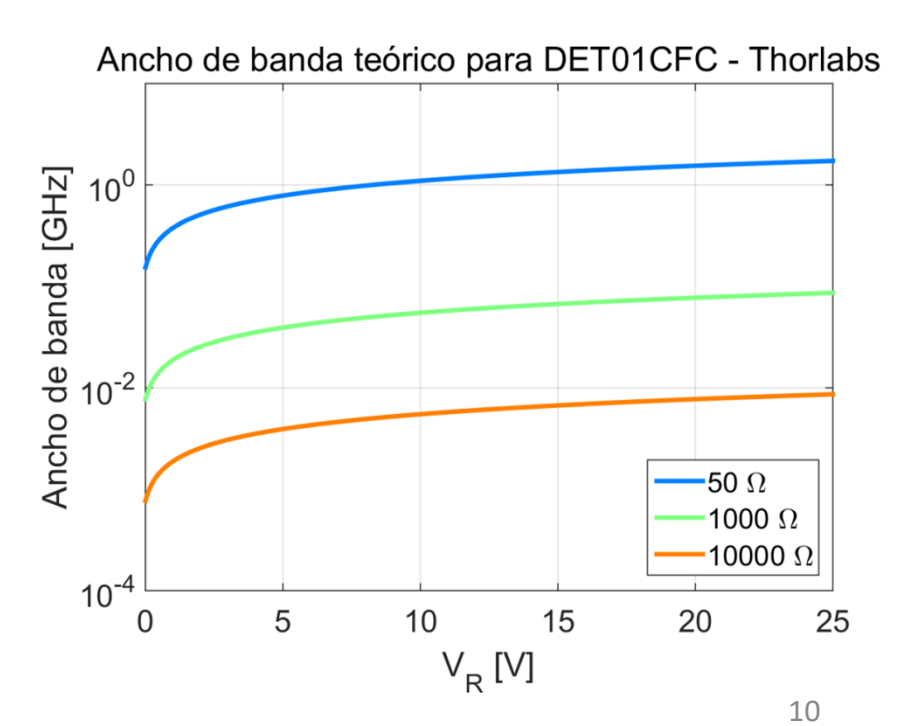
$$t = \sqrt{t_{drift}^2 + t_{difusi\acute{o}n}^2 + t_{RC}^2} \qquad BW = \frac{0.35}{t}$$

• Generalmente  $t_{drift}$  y  $t_{RC}$  compiten entre sí, cuando una crece la otra decrece y viceversa.

## Ancho de banda

$$t_{RC}=2.2C_{j}R_{L}$$
Resistencia de carga (o  $\mu_{si}=1400~cm^{2}/{
m Vs}$ 
Capacidad de la juntura  $\mu_{N}$ 
Resistencia de carga (o  $\mu_{si}=1400~cm^{2}/{
m Vs}$ 
 $\mu_{InGaAs}=10000~cm^{2}/{
m Vs}$ 
 $C_{j}=\frac{A\varepsilon_{0}\varepsilon_{mat}}{W_{d}}$ 
 $W_{d}=\sqrt{2\varepsilon_{0}\varepsilon_{mat}\mu\rho(V_{R}+V_{bi})}{\sim}0.1-1~\mu m$ 





Ref.: Gráficos obtenidos a partir de los parámetros del sensor DETO1CFC - Thorlabs

## Ruido

 Ruido térmico o ruido de Johnson debido a la agitación térmica de los portadores (distribución gaussiana, espectro de ruido blanco):

$$I_{Rh} = \sqrt{\frac{4KTB_w}{R_{Sh}}}$$

• Ruido estadístico o *shot noise* de la fotocorriente y corriente oscura (distribución poissoniana, espectro de ruido blanco):

$$I_{S} = \sqrt{2qB_{W} (I_{L} + I_{DC})}$$

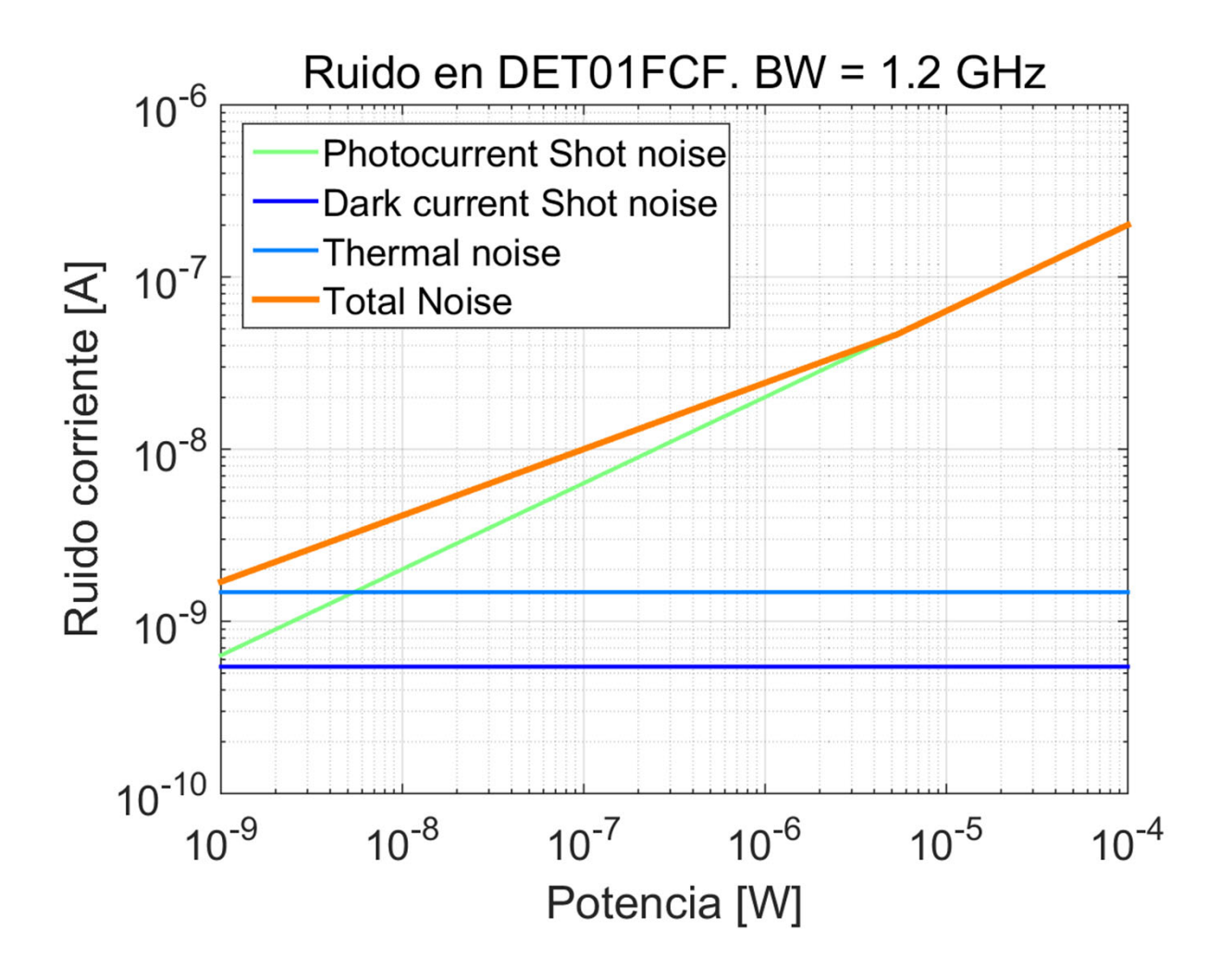
Ruido 1/f (presente a bajas frecuencias):

$$I_{1/f} \sim I \sqrt{\frac{B_w}{f}}$$

Total Noise = 
$$\sqrt{I_{Rh}^2 + I_{SL}^2 + I_{SDC}^2 + I_{1/f}^2}$$

• Típicamente se define el NEP de un fotodiodo (*Noise Equivalent Power*): la potencia óptica para la cual la SNR es 1.  $[W/\sqrt{Hz}]$ 

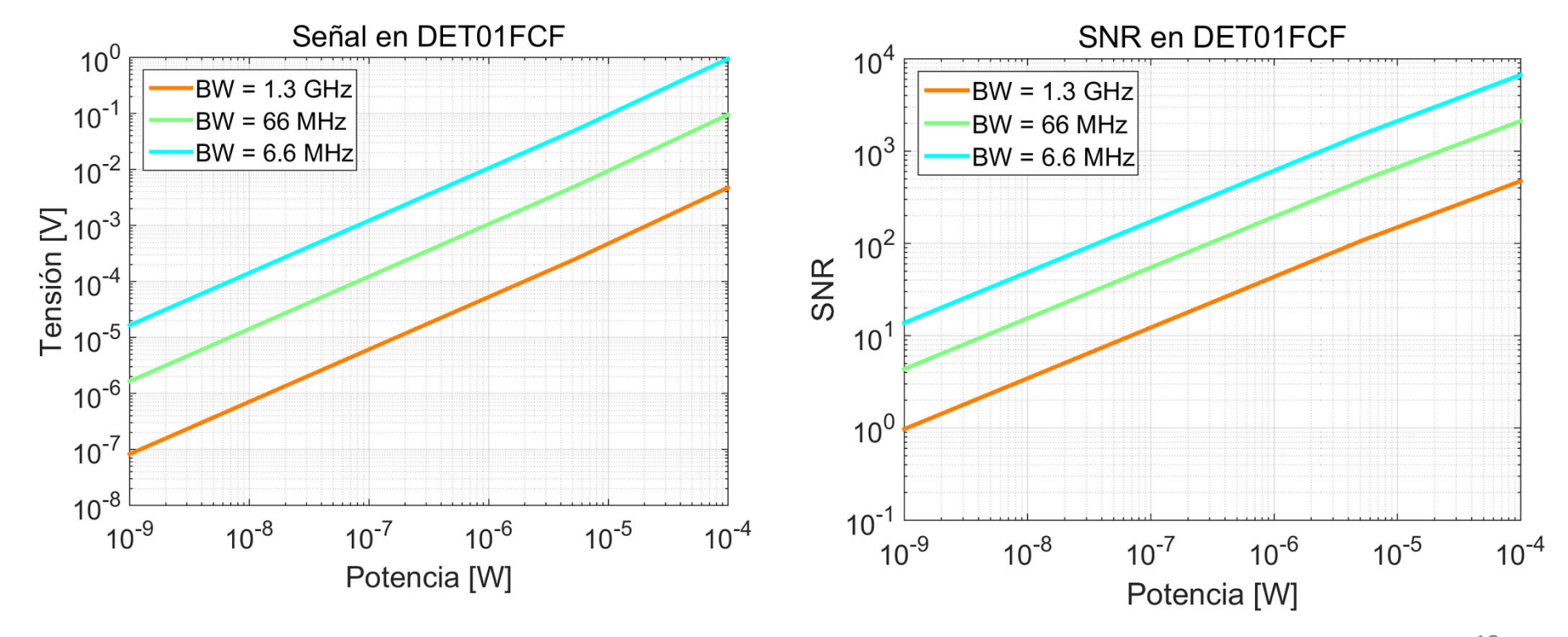
## Ruido



## Relación señal a ruido (SNR)

$$SNR = \frac{Signal}{Total\ Noise} \approx \frac{I_L}{Shot\ Noise} = \alpha \sqrt{I_L}$$

La SNR está limitada por la fotocorriente: es decir por la cantidad de fotones recibidos y la respuesta del sensor.



13

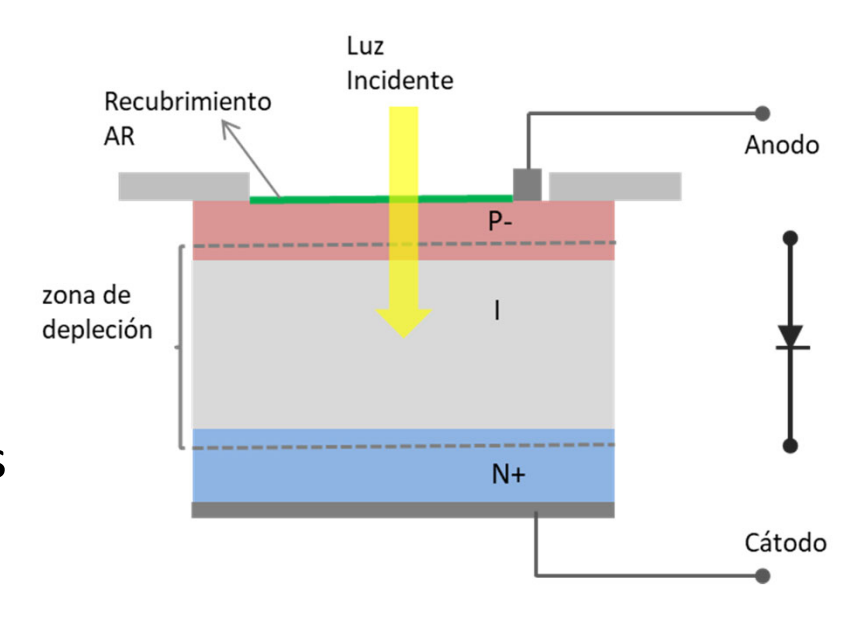
#### Fotodiodo PIN

- Para aumentar el nivel de señal y sensibilidad del fotodiodo debemos aumentar la resistencia de carga del circuito que convierte corriente a tensión.
- Sin embargo un aumento de la resistencia aumenta el tiempo del respuesta del sensor (o reduce el ancho de banda).

$$t = \sqrt{t_{drift}^2 + t_{difusion}^2 + t_{RC}^2} \qquad t_{RC} = 2.2C_j R_L$$

- En el fotodiodo PIN se agrega material Intrinseco fotosensible que:
  - Aumenta  $W_d \longrightarrow \text{Reduce } C_i$
  - Aumenta la sensibilidad del sensor  $\implies$  aumenta  $R_{\lambda}$
  - Reduce la posibilidad de portadores fuera de la zona de depleción.

$$\longrightarrow t_{difusión} \approx 0$$



## Comparación fotodiodo PIN y PN

#### Fotodiodo PIN - FPD510



Fotodiodo PN - FGA01FC



Amplificador de transimpedancia integrado:

- Ancho de banda 200 MHz
- Ganancia de transimpendancia:

$$G_{PIN} = 1.5 \times 10^5 V/W$$

- $V_{1\mu W} \approx 150 \, mV$
- $SNR_{1uW} \approx 100$
- 1700 USD

 $\frac{G_{PIN}}{G_{PN}}$ >400

¿Cual debe ser la resistencia de carga para tener el mismo ancho de banda (200 MHz)?

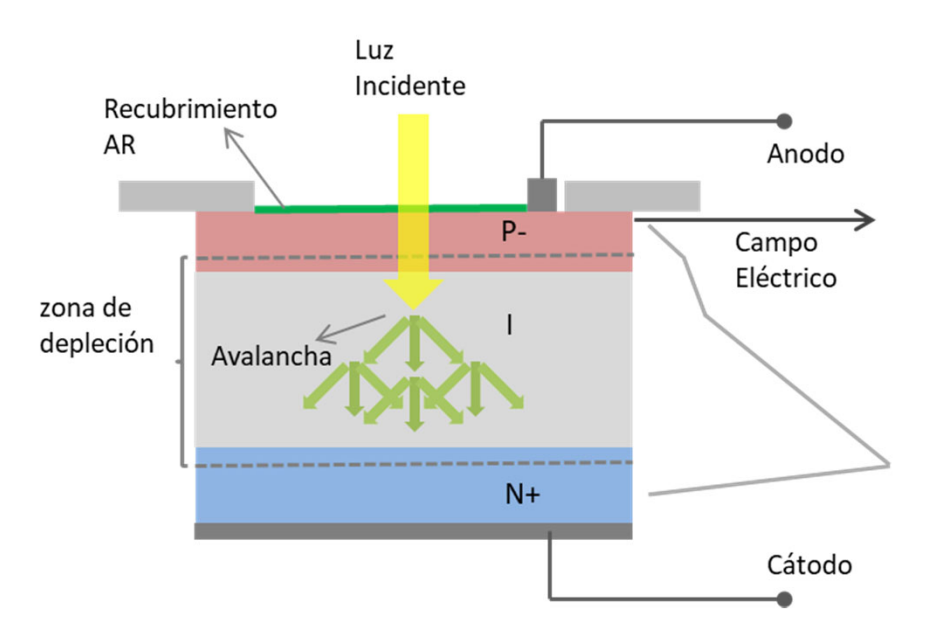
• 
$$V_R = 12 V \implies C_j = 2.4 pF$$

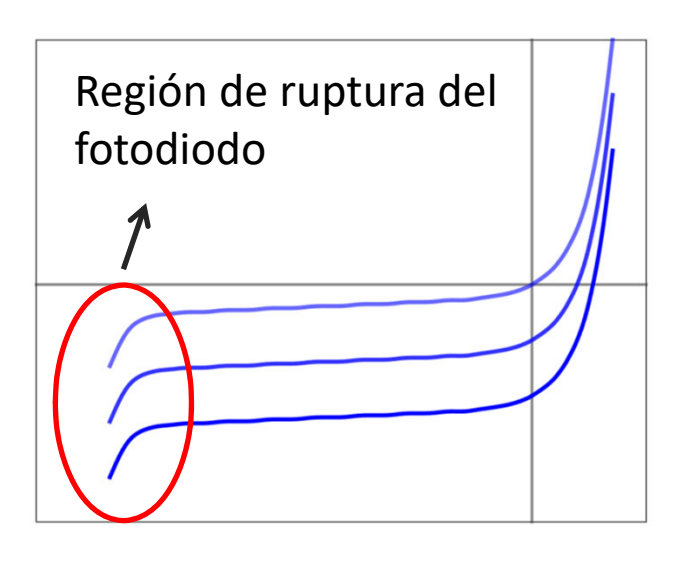
• 
$$R_L = \frac{0.35}{2.2B_W C_i} = 330 \ \Omega$$

$$G_{PN} = R_L R_\lambda \approx 330 \, V/W$$

- $V_{1uW} \approx 330 \,\mu V$
- $SNR_{1uW} \approx 110$
- 150 USD

## Fotodiodo de avalancha APD





- Al aumentar la tensión en inversa aumenta la velocidad y la energía de los portadores en la zona de depleción, favoreciendo el fenómeno de avalancha.  $Energia>10^5\ V/cm$
- La fotocorriente queda entonces:

$$I_L = R_{\lambda} P_{\lambda} M$$

• La corriente oscura:

$$I_{DC} = I_{DS} + I_{DB}M$$

Factor de multiplicación M:

- Silicio ≈ 500
- Germanio ≈ 10
- InGaAs ≈ 10

#### Ruido en APD

Ruido térmico o ruido de Johnson:

$$I_{RL} = \sqrt{\frac{4KTB_w}{R_L}}$$

 Ruido estadístico o shot noise de la fotocorriente y corriente oscura:

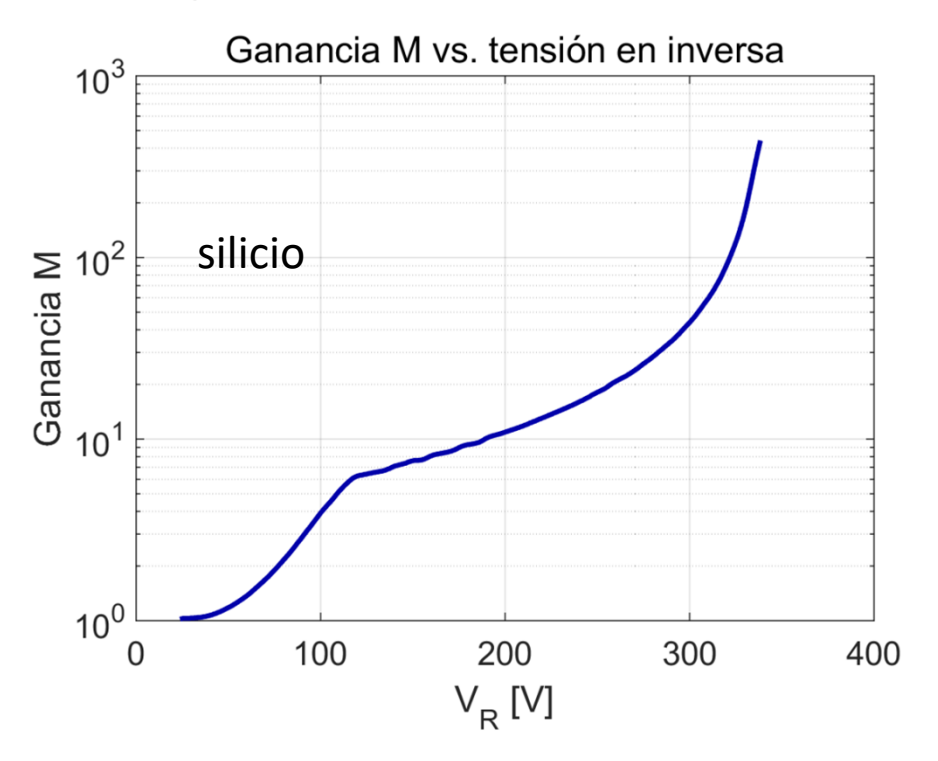
$$I_{SL} = \sqrt{2qR_{\lambda}P_{\lambda}M^{2}FB_{w}}$$
 
$$I_{SDC} = \sqrt{2q(I_{DS} + I_{DB}M^{2}F)B_{w}}$$

• F (Excess noise): debido a la fluctuación en la multiplicación M. El factor M no es el mismo para huecos ( $\alpha$ ) y electrones ( $\beta$ ).  $F \approx 2 + kM$ 

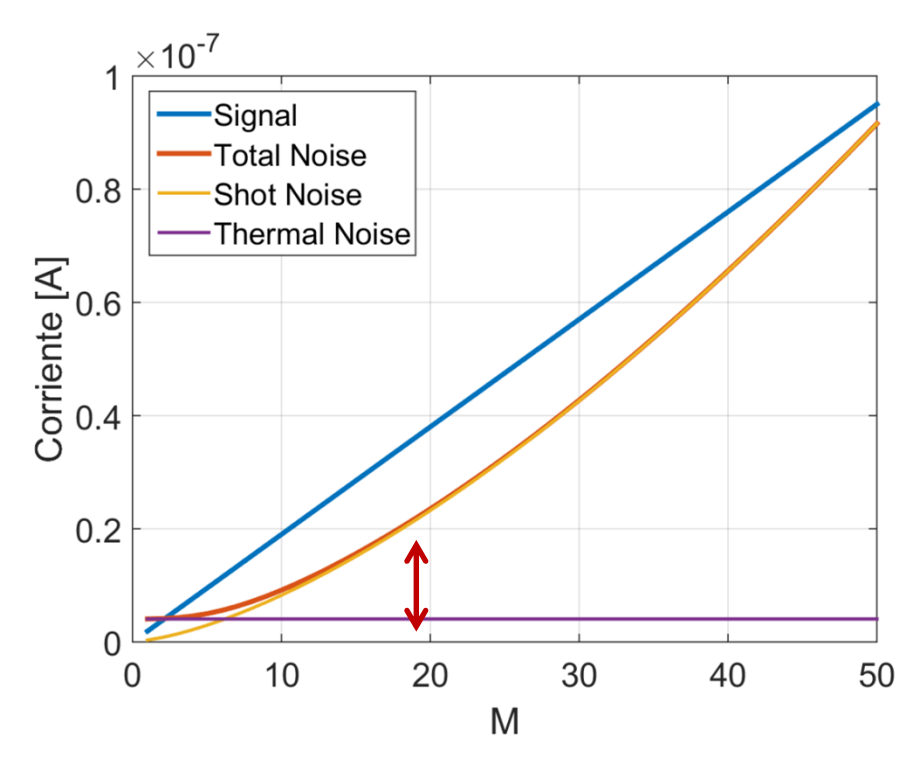
$$Total\ Noise = \sqrt{{I_{RL}}^2 + {I_{SL}}^2 + {I_{SDC}}^2}$$

### Fotodiodo de avalancha APD

- El factor de multiplicación M aumenta con la tensión inversa, sin embargo también lo hace el ruido.
- El factor de multiplicación M óptimo es aquel que maximiza la SNR.

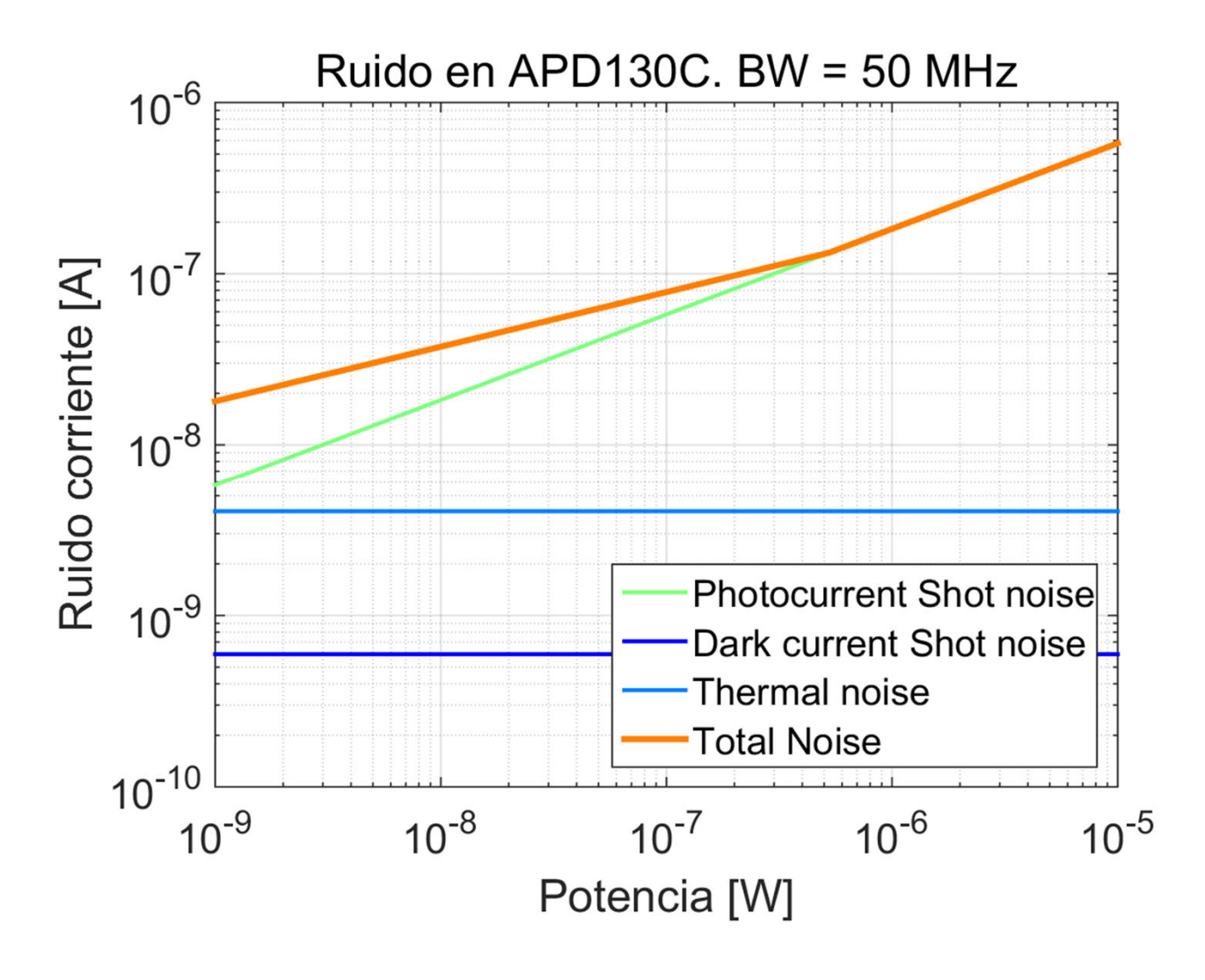


Ref.:Avalanche photodiode A User Guide - PerkinElmer



Ref.: Gráfico obtenido a partir de los parámetros del sensor APD130C - Thorlabs

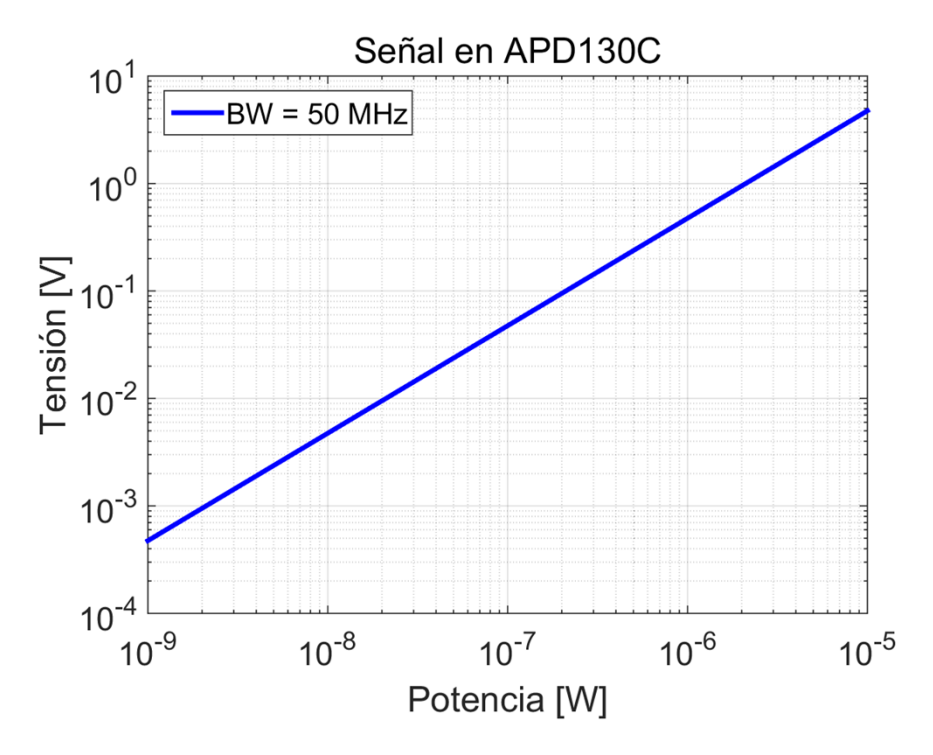
## Ruido en APD

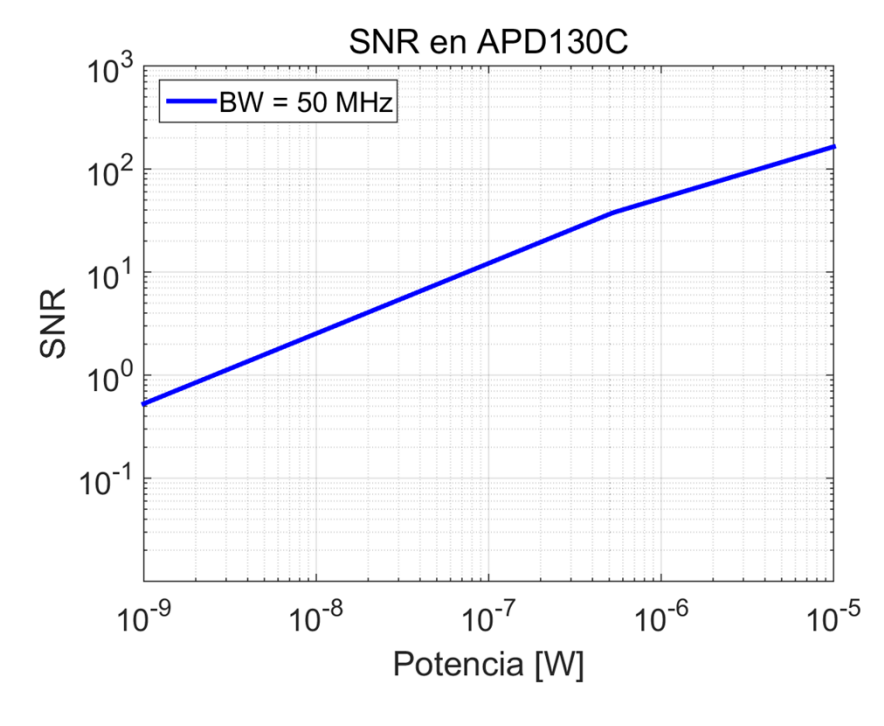


Ref.: Gráfico obtenido a partir de los parámetros del sensor APD130C - Thorlabs

## Relación señal a ruido en APD

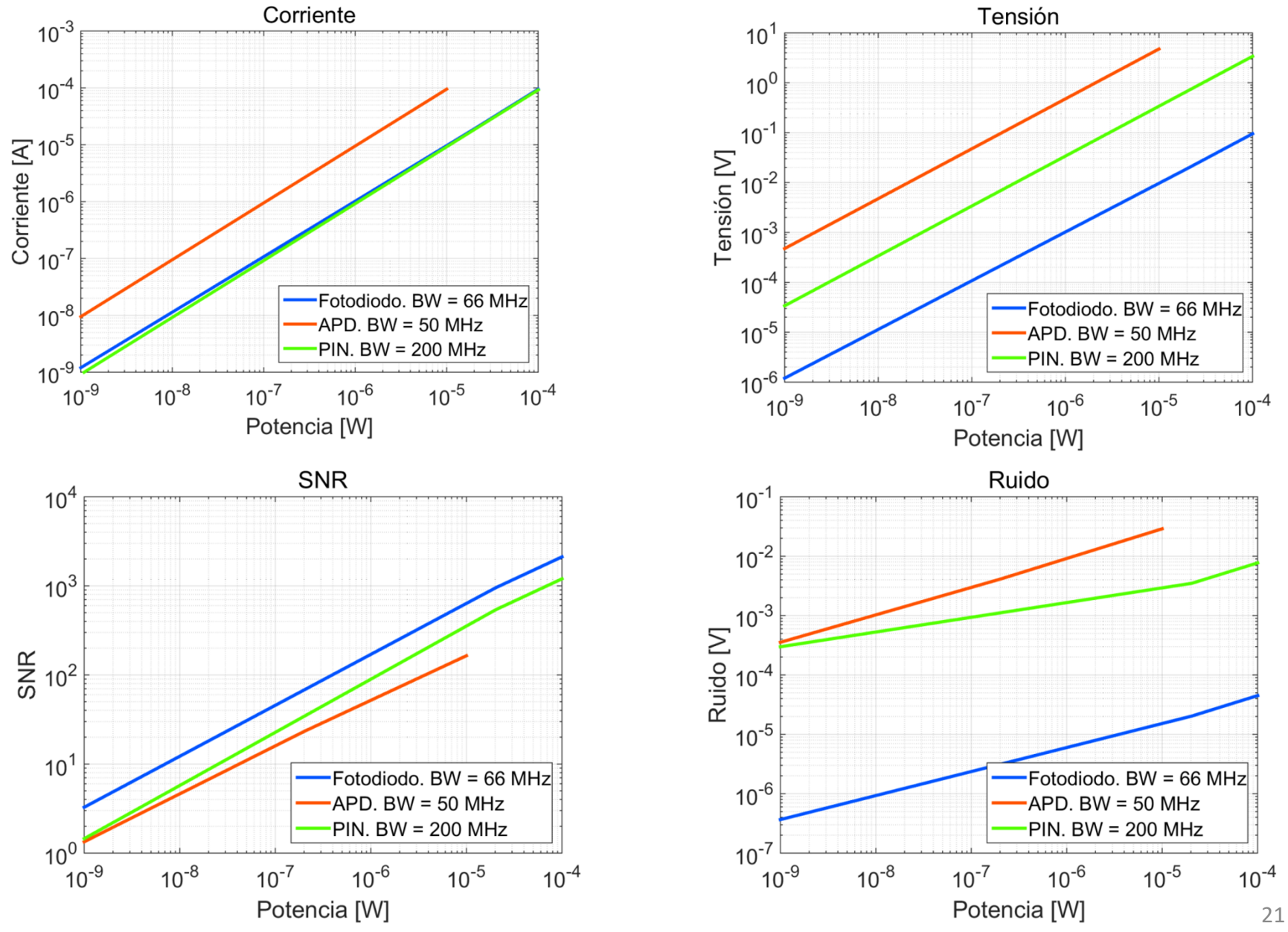
 Respecto de un fotodiodo PN y PIN, el APD tiene mayor nivel de señal pero mayores niveles de ruido y menor SNR.





Ref.: Gráficos obtenidos a partir de los parámetros del sensor APD130C - Thorlabs

## Comparativa fotodiodo PN, PIN y APD



Ref.: Gráficos obtenidos a partir de los parámetros de los sensores DET01CFC, FPD510, APD130C - Thorlabs

## Comparativa fotodiodo PN, PIN, APD

Fotodiodo PN - FGA01FC Thorlabs Fotodiodo PIN - FPD510 Menlo Systems

